

Напряженное состояние элементов конструкций в зоне концентраторов напряжений с трещинами при различных видах нагружения

С. В. Добровольский

Ижевский государственный технический университет, Ижевск, Россия

Предлагается метод определения полей местных напряжений и упругих деформаций в окрестности мелких, промежуточных и глубоких трещин при растяжении, изгибе или кручении призматических и цилиндрических брусков с боковыми и кольцевыми надрезами. Получены соотношения, позволяющие определять значения коэффициентов интенсивности напряжений для таких трещин в зависимости от номинальных напряжений и размеров надреза и величину главных напряжений в зоне трещины в зависимости от коэффициента интенсивности напряжений и основных геометрических размеров для наиболее типичных концентраторов напряжений, характерных для реальных конструкций и условий нагружения.

Основы механики упругого деформирования и хрупкого разрушения материалов с трещинами развиты в работах [1–3]. Внутренняя поперечная трещина в растянутой бесконечной тонкой пластине моделируется предельно вытянутым эллиптическим отверстием, одна из осей которого и радиусы кривизны на второй оси стремятся к нулю. Для таких условий местное напряженно-деформированное состояние (НДС) в окрестности вершины трещины определяется одним параметром – коэффициентом интенсивности напряжений (КИН), зависящим от единственно возможных независимых характеристик – растягивающего напряжения и длины трещины. Для элементов конструкций величина КИН зависит также от их формы, размеров, видов нагружения и разрушения, ориентации трещины, а в ряде случаев и методов решения конкретной задачи [4–9 и др.].

Содержащиеся в элементах конструкций концентраторы напряжений (боковые и кольцевые надрезы, резьбы, отверстия и др.) и дефекты поверхностных слоев приводят при циклическом нагружении к зарождению ответственных за разрушение внешних трещин. При этом долговечность элемента конструкции до появления трещины зависит прежде всего от местного НДС в области концентратора или дефекта, а последующее число циклов до окончательного разрушения (живучесть) элемента конструкции определяется при прочих одинаковых условиях КИН. Для обеспечения сопоставимости получаемых результатов поля местных напряжений в области надрезов и окрестности трещин целесообразно определять на основе общих аналитических подходов. В частности, для элементов конструкций с мелкими, промежуточными и глубокими надрезами коэффициенты концентрации и местные напряжения при растяжении, изгибе и кручении бруса получают по решениям Нейбера [10]. Подобных комплексных исследований для аналогичных трещин, как своего рода предельных концентраторов, известно недостаточно.

При проведении малоцикловых испытаний материалов и конструктивных элементов, анализе их результатов [11, 12], оценке НДС моделей и деталей [13, 14], изучении физических критериев малоциклового усталости [15, 16] рассматривалось число циклов до образования трещины, хотя живучесть элемента конструкции составляет существенную часть его общей долговечности [17, 18]. В связи с этим в данной работе предлагается метод определения полей местных напряжений и упругих деформаций в окрестности мелких, промежуточных и глубоких трещин при растяжении, изгибе или кручении типовых элементов конструкций как необходимый этап моделирования живучести деталей [19].

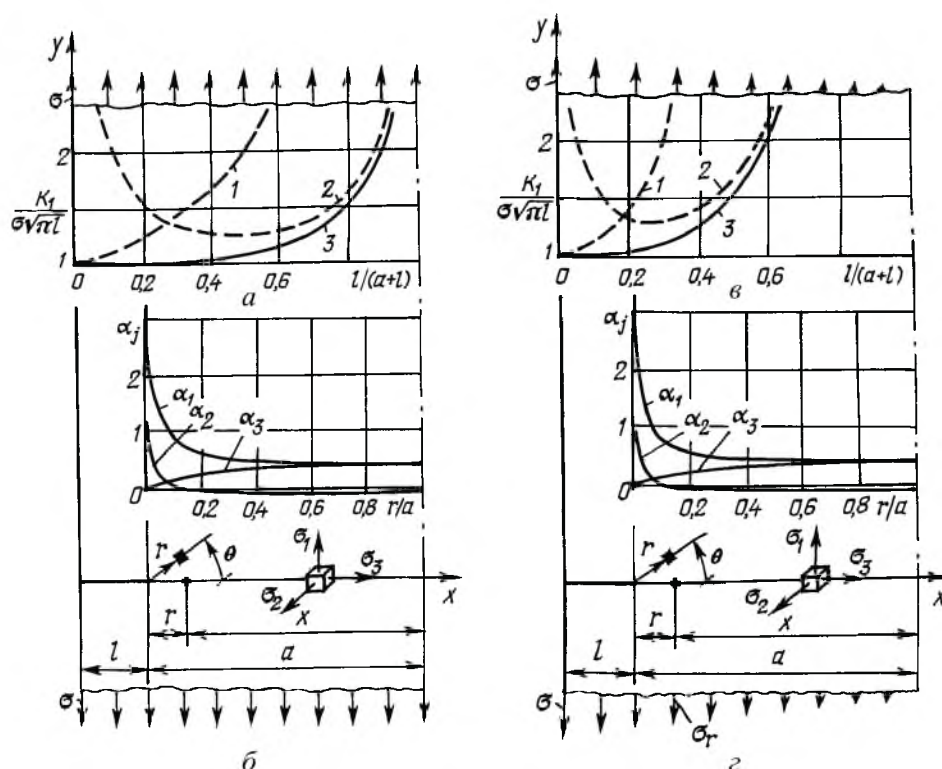


Рис. 1. Коэффициенты интенсивности напряжений для мелких (1), глубоких (2) и промежуточных (3) двухсторонних трещин (а, в) и коэффициенты концентрации главных напряжений (б, г) при растяжении (а, б) и изгибе (в, г) бруса.

В соответствии с решениями [10], коэффициенты концентрации напряжений при растяжении, изгибе или кручении призматических и цилиндрических брусков с мелкими односторонними, двухсторонними или кольцевыми надрезами равны

$$\alpha_{\sigma M} = 1 + 2\sqrt{l/\rho}; \quad \alpha_{\tau M} = 1 + \sqrt{l/\rho}, \quad (1)$$

где l, ρ – глубина и радиус кривизны в вершине надреза, которые трактуются как параметры эллипса, описывающего контур вершины надреза. С учетом этого КИН для аналогичных видов нагружения типовых элементов

конструкций (рис. 1–3) ограниченных размеров с мелкими трещинами глубиной l можно представить так [3]:

$$\begin{aligned} K_{1M} &= \lim_{r \rightarrow 0} (0,5 \sigma_H \alpha_{\sigma M} \sqrt{\pi \rho}) = \sigma_H \sqrt{\pi l}, \\ K_{3M} &= \lim_{r \rightarrow 0} (0,5 \tau_H \alpha_{\tau M} \sqrt{\pi \rho}) = 0,5 \tau_H \sqrt{\pi l}, \end{aligned} \quad (2)$$

где K_{1M} – КИН нормального отрыва при растяжении или изгибе бруса (рис. 1, 2) с мелкими односторонними, двухсторонними или кольцевыми трещинами; K_{3M} – КИН несимметричного сдвига при кручении бруса (рис. 3) с мелкой кольцевой трещиной; σ_H, τ_H – номинальные напряжения в вершине трещины.

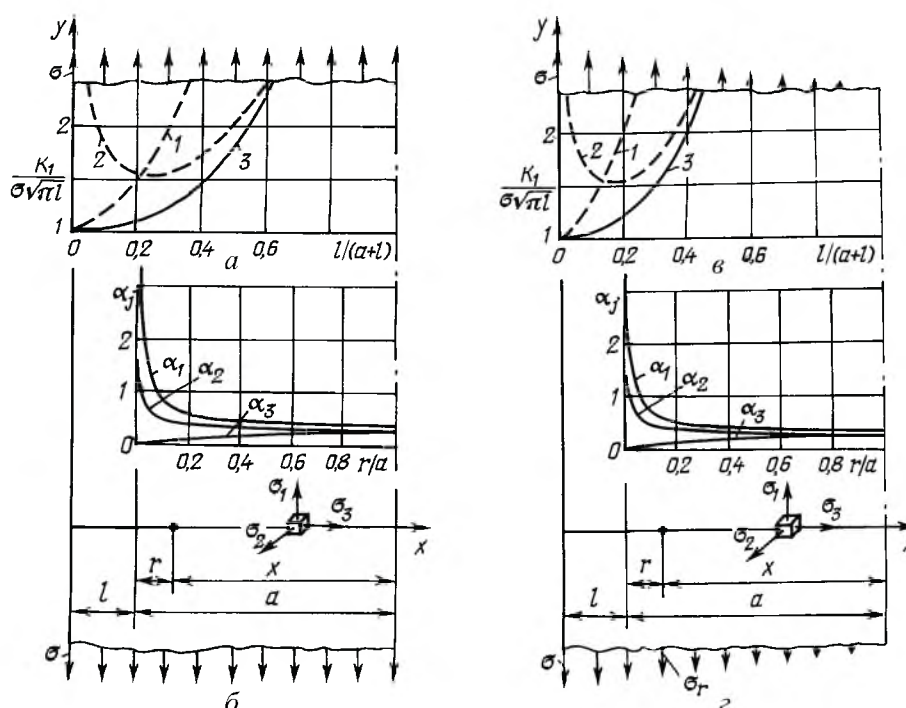


Рис. 2. Коэффициенты интенсивности напряжений для мелких (1), глубоких (2) и промежуточных (3) кольцевых трещин (а, в) и коэффициенты концентрации главных напряжений (б, г) при растяжении (а, б) и изгибе (в, г) цилиндрического бруса.

При центральном растяжении полосы с глубокими боковыми надрезами радиусом ρ в вершине местные главные напряжения в произвольной точке нетто-сечения представлены [10] следующим образом:

$$\begin{aligned} \sigma_{1v} &= \frac{A}{\cos v} \left(1 + \frac{\cos^2 v_0}{\cos^2 v} \right); \quad \sigma_{2v} = \mu(\sigma_{1v} + \sigma_{2v} - \sigma_H); \\ \sigma_{3v} &= \frac{A}{\cos v} (\cos^2 v - \cos^2 v_0), \end{aligned} \quad (3)$$

где $A = \sigma_H \sin v_0 / (v_0 + \sin v_0 \cos v_0)$; $v = \arcsin\left(\frac{x}{a} \sin v_0\right)$; $v_0 = \arctg \sqrt{a/\rho}$;

$\mu = 0,3$ – коэффициент Пуассона; a и ρ – соответственно действительная полуось и радиус кривизны гиперболы, описывающей профиль глубокого надреза. Две боковые трещины размером l рассматриваются как предельно острые надрезы радиусом $\rho \rightarrow 0$ и отношением $a/\rho \rightarrow \infty$. С учетом этого находим предельные значения параметров соотношений (3): $A_\infty = 2\sigma_H / \pi = 0,6366\sigma_H$; $v_0 = \pi/2$. Из соотношений (3) получаем формулы для определения главных местных напряжений в произвольной точке, расположенной на продолжении трещин, в условиях местной плоской деформации:

$$\sigma_1 = A_\infty / \sqrt{1 - (x/a)^2}; \quad \sigma_2 = \mu(\sigma_1 + \sigma_2 - \sigma_H); \quad \sigma_3 = A_\infty \sqrt{1 - (x/a)^2}. \quad (4)$$

Если расстояние от вершины трещины до рассматриваемой точки обозначить через $r = (a - x)$ и трактовать значение $\lim(\sqrt{2\pi}\sigma_1\sqrt{r}) = K_{1r}$ при $r \rightarrow 0$ как КИН нормального отрыва для глубокой трещины, то с учетом (4) получим значение КИН при центральном растяжении полосы (рис. 1,а,б) с глубокими боковыми трещинами: $K_{1r} = A_\infty \sqrt{\pi a} = 0,6366\sigma_H \sqrt{\pi a}$. Аналогично с использованием соответствующих решений Нейбера [10] получены значения КИН для призматических и цилиндрических брусьев с глубокими трещинами при других видах нагружения: при изгибе подобной полосы (рис. 1,в,г) – $K_{1r} = 0,4244\sigma_H \sqrt{\pi a}$; при центральном растяжении или изгибе полосы с односторонней глубокой трещиной – $K_{1r} = 0,6059\sigma_H \sqrt{\pi a}$, $K_{1r} = 0,4071\sigma_H \sqrt{\pi a}$; при растяжении или изгибе цилиндрического стержня с глубокой кольцевой трещиной (рис. 2) – $K_{1r} = 0,5\sigma_H \sqrt{\pi a}$, $K_{1r} = 0,3927\sigma_H \sqrt{\pi a}$, а при его кручении (рис. 3) КИН несимметричного сдвига $K_{3r} = 0,375\tau_H \sqrt{\pi a}$.

Определим характерные отношения l_*/a_* , при которых значения КИН, вычисленные по формулам для мелких и глубоких трещин, совпадают. Приравнявая указанные выше значения K_{1M} и K_{1r} , для полосы с двухсторонними трещинами при растяжении получаем $l_*/a_* = 0,4053$, при изгибе – $l_*/a_* = 0,1801$; для полосы с односторонней трещиной при центральном растяжении – $l_*/a_* = 0,3671$, при изгибе – $l_*/a_* = 0,1657$; для цилиндрического образца с кольцевой трещиной при растяжении – $l_*/a_* = 0,25$, при изгибе – $l_*/a_* = 0,1542$, при кручении – $l_*/a_* = 0,5625$.

Для надреза промежуточного размера коэффициент концентрации напряжений рекомендуется [10] вычислять через аналогичные величины для предельно мелкого α_M и глубокого α_r надрезов:

$$\alpha = 1 + \frac{(\alpha_M - 1)(\alpha_r - 1)}{\sqrt{(\alpha_M - 1)^2 + (\alpha_r - 1)^2}}. \quad (5)$$

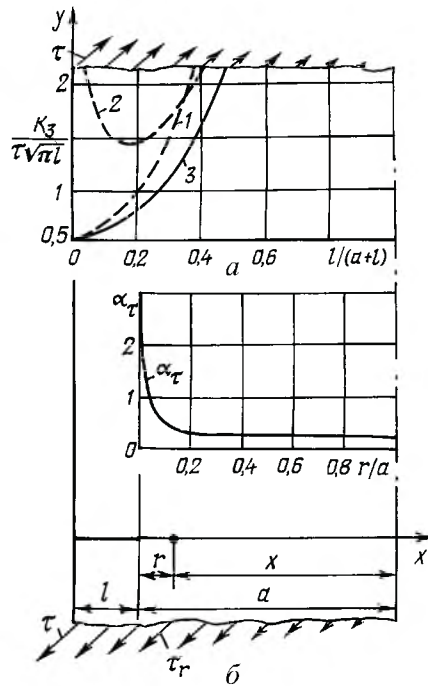


Рис. 3. Коэффициенты интенсивности напряжений для мелких (1), глубоких (2) и промежуточных (3) кольцевых трещин (а) и коэффициенты концентрации касательных напряжений (б) при кручении цилиндрического бруса.

В окрестности вершин мелкой и глубокой трещин коэффициенты концентрации первых главных напряжений можно представить в виде

$$\alpha_M = K_{1M} / \sigma_H \sqrt{2\pi r}; \quad \alpha_r = K_{1r} / \sigma_H \sqrt{2\pi r}. \quad (6)$$

С учетом (5) и (6) получаем КИН нормального отрыва для трещины промежуточного размера:

$$K_1 = \lim_{r \rightarrow 0} [\sqrt{2\pi} \sigma_H \alpha \sqrt{r}] = \frac{K_{1M} K_{1r}}{\sqrt{K_{1M}^2 + K_{1r}^2}}. \quad (7)$$

При этом для рассматриваемых элементов конструкций КИН представляются в зависимости от длины трещины l с учетом размера a нетто-сечений и напряжений σ или τ по брутто-сечениям элементов конструкций. Так, для полосы с двухсторонними трещинами при растяжении получаем

$$K_{1M} = (1 + l/a) \sigma \sqrt{\pi l}, \quad K_{1r} = 0,6366 \sqrt{a/l} (1 + l/a) \sigma \sqrt{\pi l};$$

при изгибе –

$$K_{1M} = (1 + l/a)^2 \sigma \sqrt{\pi l}, \quad K_{1r} = 0,4244 \sqrt{a/l} (1 + l/a)^2 \sigma \sqrt{\pi l}.$$

Для цилиндрического бруса с кольцевой трещиной при растяжении имеем

$$K_{1M} = (1 + l/a)^2 \sigma \sqrt{\pi l}, \quad K_{1r} = 0,5 \sqrt{a/l} (1 + l/a)^2 \sigma \sqrt{\pi l};$$

при изгибе –

$$K_{1M} = (1 + l/a)^3 \sigma \sqrt{\pi l};$$

при кручении –

$$K_{3M} = 0,5(1 + l/a)^3 \tau \sqrt{\pi l}, \quad K_{3r} = 0,375 \sqrt{a/l} (1 + l/a)^3 \tau \sqrt{\pi l}.$$

Для трещин промежуточных размеров значения K_1 вычисляются по соотношению (7), а K_3 – по аналогичному ему. На рис. 1,а,в, 2,а,в показано изменение отношений $K_{1M} / \sigma \sqrt{\pi l}$ (кривые 1), $K_{1r} / \sigma \sqrt{\pi l}$ (кривые 2) и $K_1 / \sigma \sqrt{\pi l}$ (кривые 3) в зависимости от относительного размера трещины $l/(a+l)$, на рис. 3,а – аналогичные результаты при кручении бруса с кольцевой трещиной: $K_{3M} / \tau \sqrt{\pi l}$ (кривые 1), $K_{3r} / \tau \sqrt{\pi l}$ (кривые 2) и $K_3 / \tau \sqrt{\pi l}$ (кривые 3).

Выполненный на единой математической основе анализ НДС для указанных выше условий нагружения типовых элементов конструкций с трещинами показал, что с учетом рекомендуемых (7) значений КИН полученные решения типа (4) для частных случаев можно представить в обобщенном виде:

$$\sigma_1 = K_1 f_{r1} / \sqrt{2\pi r}, \quad \sigma_2 = \mu(\sigma_1 + \sigma_3 - \sigma_r), \quad \sigma_3 = K_1 f_{r3} \sqrt{2\pi r} / \pi a, \quad (8)$$

где σ_r – номинальное напряжение в рассматриваемой точке нетто-сечения; значения K_1 представляются в зависимости от размера a нетто-сечения. При растяжении полосы с боковыми симметричными трещинами имеем $f_{r1} = 1/\sqrt{1-r/2a}$; $f_{r3} = \sqrt{1-r/2a}$, при ее изгибе – $f_{r1} = (1-r/a)/\sqrt{1-r/2a}$; $\sigma_r = \sigma_H(1-r/a)$; $f_{r3} = (1-r/a)\sqrt{1-r/2a}$. При центральном растяжении полосы с односторонней трещиной получаем $f_{r1} = 1/\sqrt{1-r/2a}$; $f_{r3} = \sqrt{1-r/2a}$, при ее изгибе – $f_{r1} = (1-r/a)/\sqrt{1-r/2a}$; $\sigma_r = \sigma_H(1-r/a)$; $f_{r3} = (1-r/a)\sqrt{1-r/2a}$. Напряженное состояние бруса с трещиной (рис. 1) в произвольной точке, характеризуемой полярными координатами (расстоянием r до вершины трещины и углом Θ между r и осью x), рекомендуется определять по аналогичным [3] формулам, учитывающим отличие главного напряжения σ_3 от σ_1 :

$$\begin{cases} \sigma_x = \frac{K_1 f_{r3} \sqrt{2\pi r}}{\pi a} \cos \frac{\Theta}{2} \left(1 - \sin \frac{\Theta}{2} \sin \frac{3}{2} \Theta \right); \\ \sigma_y = \frac{K_1 f_{r1}}{\sqrt{2\pi r}} \cos \frac{\Theta}{2} \left(1 + \sin \frac{\Theta}{2} \sin \frac{3}{2} \Theta \right); \\ \tau_{xy} = \frac{0,25 K_1}{\sqrt{2\pi r}} \left(f_{r1} + \frac{2 f_{r3} r}{a} \right) \sin \frac{\Theta}{2} \cos \frac{\Theta}{2} \cos \frac{3}{2} \Theta; \\ \sigma_z = \mu (\sigma_x + \sigma_y - \sigma_r). \end{cases} \quad (9)$$

В случае местного плоского напряженного состояния, характерного для тонких полос с трещинами, напряжения $\sigma_2 = \sigma_z = 0$.

При растяжении или изгибе цилиндрического бруса с кольцевой трещиной главные местные напряжения σ_1 и σ_3 также определяются по обобщенным формулам (8), а промежуточное напряжение $\sigma_2 = \mu \sigma_{1r} f_{r2}$. При этом для растяжения цилиндрического бруса с кольцевой трещиной получаем

$$f_{r1} = 1 / \sqrt{1 - r/2a},$$

$$f_{r2} = \{3 + 10\sqrt{(2 - r/a)r/a} + 3[(2 - r/a)r/a]\} / 3[1 + \sqrt{(2 - r/a)r/a}],$$

$$f_{r3} = \sqrt{1 - r/2a} [1 + 0,6\sqrt{(2 - r/a)r/a}] / [1 + \sqrt{(2 - r/a)r/a}];$$

для изгиба –

$$f_{r1} = (1 - r/a) / \sqrt{1 - r/2a},$$

$$f_{r2} = \{3[1 + \sqrt{(2 - r/a)r/a}]^2 + 4[(2 - r/a)r/a]\} / 3[1 + \sqrt{(2 - r/a)r/a}],$$

$$f_{r3} = (1 - r/a)(1 - r/2a) [1 + 0,6\sqrt{(2 - r/a)r/a}] / [1 + \sqrt{(2 - r/a)r/a}].$$

Для определения местных касательных и главных напряжений при кручении цилиндрического бруса с кольцевой трещиной рекомендуется формула

$$\tau_m = \sigma_1 = -\sigma_3 = K_3 f_{rk} / \sqrt{2\pi r}, \quad \sigma_2 = 0, \quad (10)$$

где K_3 – КИН несимметричного сдвига, определяемый через K_{3m} и K_{3r} по аналогичной (7) формуле; $f_{rk} = (1 - r/a) / \sqrt{1 - r/2a}$. Местные упругие деформации для бруса с трещинами вычисляются по соотношениям обобщенного закона Гука. Интенсивность местных напряжений

$$\sigma_i = \sqrt{0,5[(\sigma_1 - \sigma_2)^2 + (\sigma_2 - \sigma_3)^2 + (\sigma_3 - \sigma_1)^2]}, \quad (11)$$

местная энергия упругой деформации

$$u = [\sigma_1^2 + \sigma_2^2 + \sigma_3^2 - 2\mu(\sigma_1\sigma_2 + \sigma_2\sigma_3 + \sigma_3\sigma_1)]/2E. \quad (12)$$

Коэффициенты концентрации главных нормальных и касательных напряжений в рассматриваемой точке представляются следующим образом:

$$\alpha_j = \sigma_j / \sigma_{ин} \quad (j = 1; 2; 3), \quad \alpha_\tau = \tau / \tau_{н}(1 - r/a), \quad (13)$$

где $\sigma_{ин}, u_{нр} = \sigma_r^2 / 2E$ – интенсивность номинальных напряжений и номинальная энергия упругой деформации в рассматриваемой точке. В качестве примеров на рис. 1,б,з, 2,б,з, 3,б показано изменение коэффициентов концентрации напряжений по нетто-сечениям элементов конструкций при $l/a = 0,25$. При определении полей коэффициентов концентрации напряжений использовались значения K_1 и K_3 , полученные с учетом размера a нетто-сечения и номинальных напряжений $\sigma_{н}, \tau_{н}$. Зависимости (8) и (10) конкретизированы следующим образом. При растяжении полосы с двухсторонними трещинами получаем

$$\begin{cases} K_{1р} = 0,3932\sigma_{н}\sqrt{\pi a}, \\ \alpha_{1р} = 0,3932\sqrt{a/r}/\sqrt{2-r/a}, \\ \alpha_{2р} = \mu(\alpha_{1р} + \alpha_{2р} - 1), \\ \alpha_{3р} = 0,3932^2 / \alpha_{1р}; \end{cases} \quad (14)$$

при изгибе –

$$\begin{cases} K_{1и} = 0,3236\sigma_{н}\sqrt{\pi a}, \\ \alpha_{1и} = 0,3236\sqrt{a/r}/\sqrt{2-r/a}, \\ \alpha_{2и} = \mu(\alpha_{1и} + \alpha_{3и} - 1), \\ \alpha_{3и} = 0,3236^2 / \alpha_{1и}. \end{cases} \quad (15)$$

При растяжении бруса круглого сечения с кольцевой трещиной имеем

$$\begin{cases} K_{1р} = 0,3535\sigma_{н}\sqrt{\pi a}, \\ \alpha_{1р} = 0,3535\sqrt{a/r}/\sqrt{2-r/a}, \\ \alpha_{2р} = \mu\alpha_{1р}f_{r2р}, \\ \alpha_{3р} = \frac{0,3535\sqrt{2-r/a}[1 + 0,6\sqrt{(2-r/a)r/a}]}{1 + \sqrt{(2-r/a)r/a}}\sqrt{r/a}; \end{cases} \quad (16)$$

при изгибе –

$$\begin{cases} K_{1и} = 0,3088\sigma_H\sqrt{\pi a}, \\ \alpha_{1и} = 0,3088\sqrt{a/r}/\sqrt{2-r/a}, \\ \alpha_{2и} = \mu\alpha_{1и} \frac{3[1 + \sqrt{(2-r/a)r/a}]^2 + 4\sqrt{(2-r/a)r/a}}{3[1 + \sqrt{(2-r/a)r/a}]}, \\ \alpha_{3и} = \frac{0,3088\sqrt{2-r/a}[1 + 0,6\sqrt{(2-r/a)r/a}]}{1 + \sqrt{(2-r/a)r/a}}\sqrt{r/a}; \end{cases} \quad (17)$$

при кручении –

$$\begin{cases} K_3 = 0,2236\tau_H\sqrt{\pi a}, \\ \alpha_\tau = 0,2236\sqrt{a/r}/\sqrt{2-r/a}. \end{cases} \quad (18)$$

В окрестности вершины трещины значения корректирующих функций $f_{r1} \rightarrow 1$ и $f_{rk} \rightarrow 1$. В соответствии с обобщенными соотношениями (8) главные напряжения $\sigma_1 = K_1 / \sqrt{2\pi r}$, $\sigma_3 = 0$. Последнее значение в отличие от рекомендуемого [3] является физически обоснованным. Для местной плоской деформации имеем $\sigma_2 \approx \mu\sigma_1$, для местного плоского напряженного состояния – $\sigma_2 = 0$. С учетом этого получаем интенсивности главных местных напряжений и удельные энергии в окрестности вершины трещины:

$$\sigma_i = \sqrt{1 - \mu + \mu^2} K_1 / \sqrt{2\pi r}, \quad \sigma_i = K_1 / \sqrt{2\pi r}; \quad (19)$$

$$u = (1 - \mu^2) K_{1и} / 2\pi r, \quad u = K_{1и} / 2\pi r. \quad (20)$$

Величину $K_{1и} = K_1^2 / 2E$, характеризующую энергетическое и напряженно-деформированное состояние в окрестности вершины трещины, можно рассматривать как коэффициент интенсивности энергии упругой деформации для трещины нормального отрыва. Относительные градиенты изменения местных напряжений, их интенсивности и энергии в окрестности вершины трещины, определяемые с использованием соотношений (8), (18)–(20), численно равны

$$\begin{aligned} \bar{G}_j &= \frac{1}{\sigma_j} \frac{d\sigma_j}{dr} = \frac{0,5}{r}, & \bar{G}_\tau &= \frac{1}{\tau} \frac{d\tau}{dr} = \frac{0,5}{r}, \\ \bar{G}_i &= \frac{1}{\sigma_i} \frac{d\sigma_i}{dr} = \frac{0,5}{r}, & \bar{G}_u &= \frac{1}{u} \frac{du}{dr} = \frac{1}{r}. \end{aligned} \quad (21)$$

Настоящие результаты с учетом полученных ранее [20] используются для оценки НДС и живучести элементов конструкций с трещинами при местном упругопластическом деформировании.

Резюме

Запропоновано метод визначення полів місцевих напружень і пружних деформацій в околі неглибоких, проміжних і глибоких тріщин при розтязі, згині або крученні призматичного й циліндричного брусів із боковими і кільцевими надрізами. Одержано співвідношення, за допомогою яких можна визначити коефіцієнти інтенсивності напружень для цих тріщин у залежності від номінальних напружень і розмірів надрізу і величину головних напружень у зоні тріщини в залежності від коефіцієнта інтенсивності напружень і основних геометричних розмірів для найбільш шкідливих концентраторів напружень, характерних для реальних конструкцій та умов навантаження.

1. Inglis C. E. Stresses in a plate due to the presence of cracks and sharp corners // Trans. Naval Arch. – 1913. – 60. – P. 219 – 230.
2. Griffith A. A. The phenomena of rupture and flow in solids // Phil. Trans. Roy. Soc. – 1920. – Ser. A, 221. – P. 163 – 198.
3. Irwin G. R. Analysis of stress and strains near end of a crack // J. Appl. Mech. – 1950. – 24. – P. 361 – 364.
4. Мухелишвили Н. И. Некоторые основные задачи математической теории упругости. – М.: Наука, 1966. – 707 с.
5. Панасюк В. В. Предельное равновесие хрупких тел с трещинами. – Киев: Наук. думка, 1968. – 246 с.
6. Махутов Н. А. Сопротивление элементов конструкций хрупкому разрушению. – М.: Машиностроение, 1973. – 200 с.
7. Черепанов Г. И. Механика хрупкого разрушения. – М.: Наука, 1974. – 640 с.
8. Партон В. В., Морозов Е. М. Механика упругопластического разрушения. – М.: Наука, 1974. – 416 с.
9. Разрушение: В 7 т. / Под ред. Г. Либовица. – М.: Мир; Машиностроение, 1973–1976. – 3216 с.
10. Нейбер Г. Концентрация напряжений. – М.; Л.: Гостехиздат, 1947. – 204 с.
11. Добровольский С. В. Методика и результаты малоцикловых испытаний материалов и конструктивных элементов при энергетическом подходе // Завод. лаб. – 1996. – № 12. – С. 39 – 42.
12. Добровольский С. В. Малоцикловые испытания материала при изгибе с вращением // Там же. – 2000. – № 1. – С. 46 – 49.
13. Абрамов И. В., Добровольский С. В. Анализ концентрации циклических напряжений, упругопластических деформаций и энергий в корпусе гидродомкрата // Пробл. машиностроения и надежности машин. – 1996. – № 5. – С. 63 – 70.

14. Добровольский С. В. Анализ напряжений, деформаций, энергий и их градиентов в зонах концентрации при однократном и малоцикловом нагружении // Изв. вуз. Машиностроение. – 1998. – № 4–6. – С. 14 – 22.
15. Добровольский С. В. Анализ энергетических критериев разрушения при малоцикловом нагружении // Пробл. прочности. – 1993. – № 3. – С. 10 – 16.
16. Добровольский С. В. Исследование силовых, деформационных и энергетических критериев малоциклового разрушения стали 5ХНМ при наличии концентраторов напряжений // Там же. – 1996. – № 5. – С. 5 – 16.
17. Стрижало В. А. Циклическая прочность и ползучесть металлов при малоцикловом нагружении в условиях низких и высоких температур. – Киев: Наук. думка, 1978. – 238 с.
18. Добровольский С. В., Пряхин В. В., Добровольский В. И. Факторный анализ малоциклового долговечности элементов конструкций по трещинообразованию и разрушению // Физ.-хим. механика материалов. – 1998. – № 6. – С. 121 – 123.
19. Добровольский С. В. Энергетическая модель подобия малоциклового разрушения образца и элемента конструкции // Пробл. прочности. – 1999. – № 6. – С. 23 – 34.
20. Добровольский С. В. Энергетический метод оценки концентрации напряжений и упругопластических деформаций // Там же. – № 3. – С. 29 – 35.

Поступила 26. 04. 2000